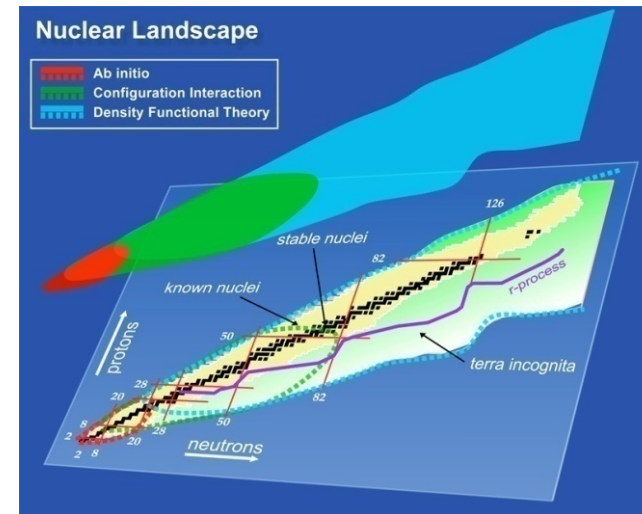
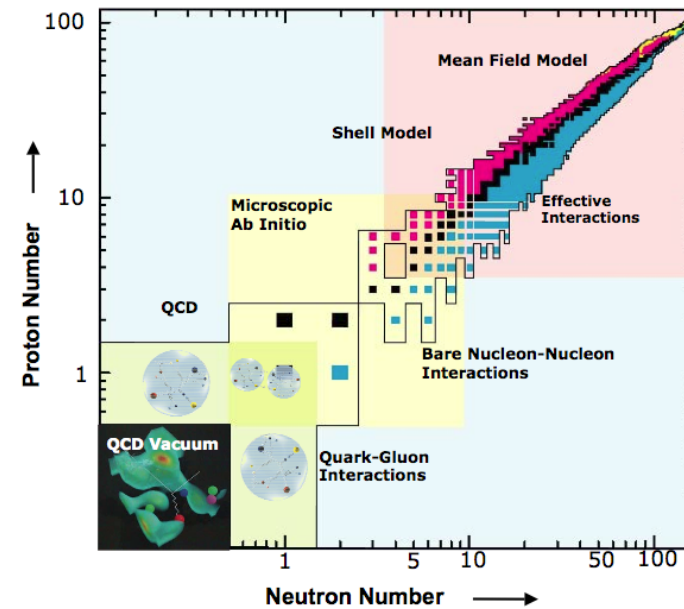
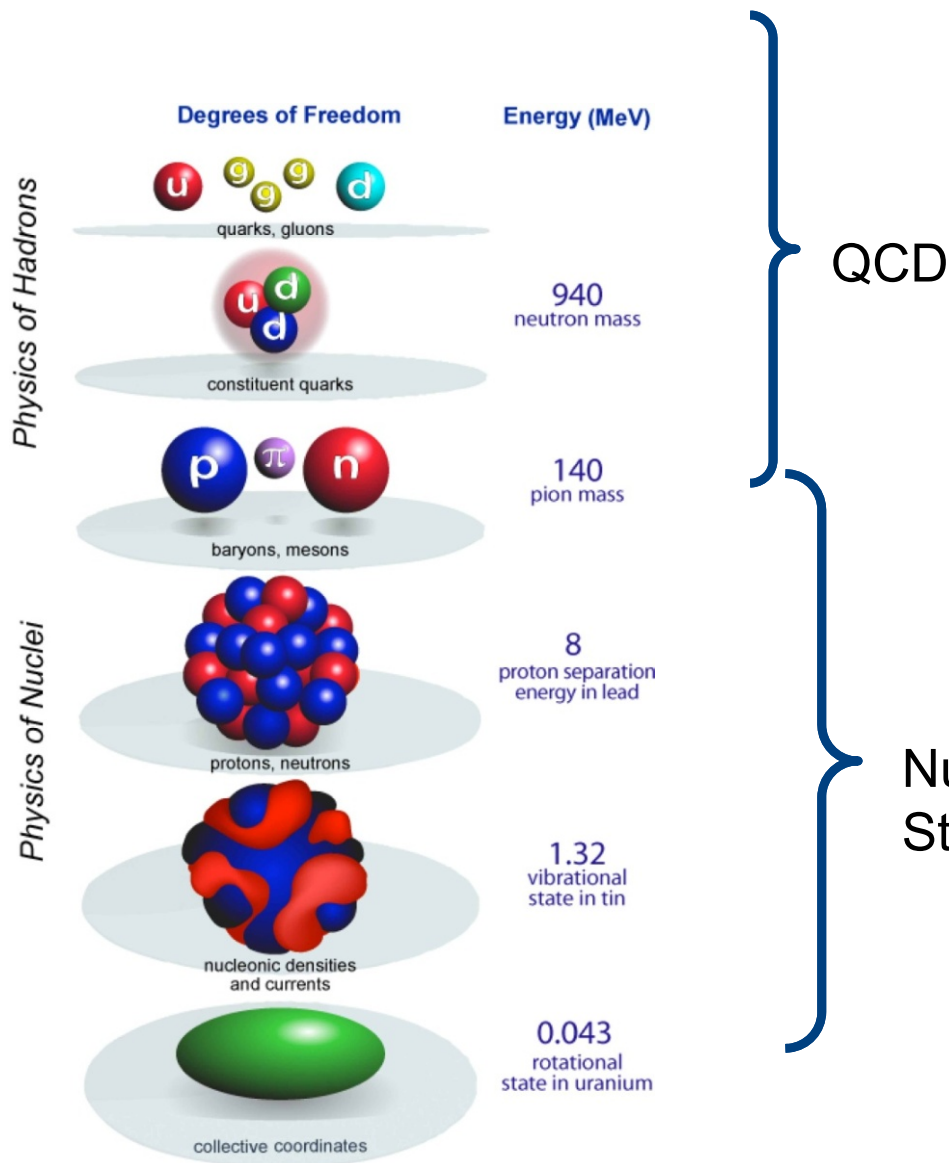


原子核少数系計算

船木 靖郎 (理研仁科センター)

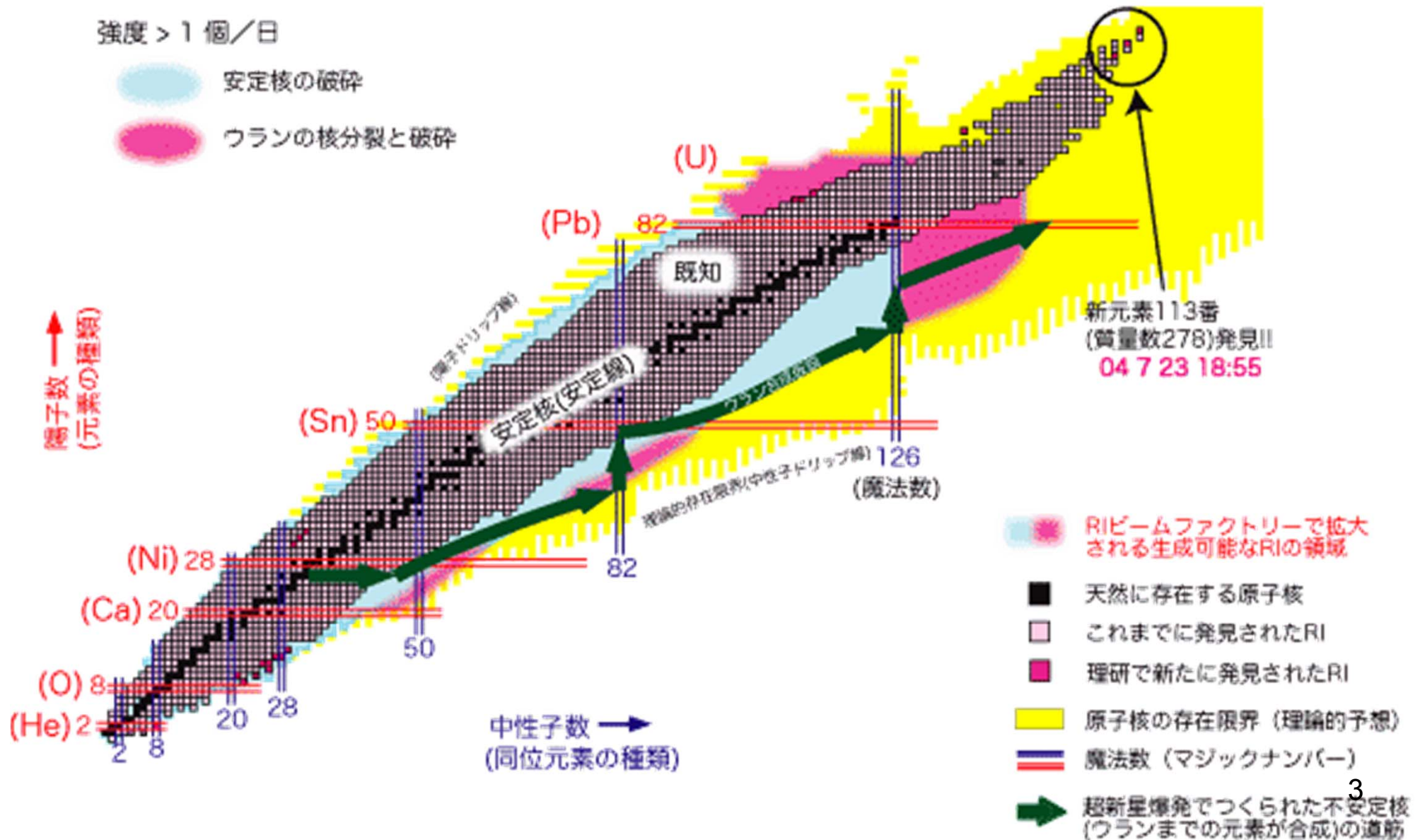
*理研和光-AICS合同シンポジウム「京、ポスト京と基礎物理」,
@理研総合支援施設大会議室、平成25年 1月7日.*

Bridging the nuclear physics scales

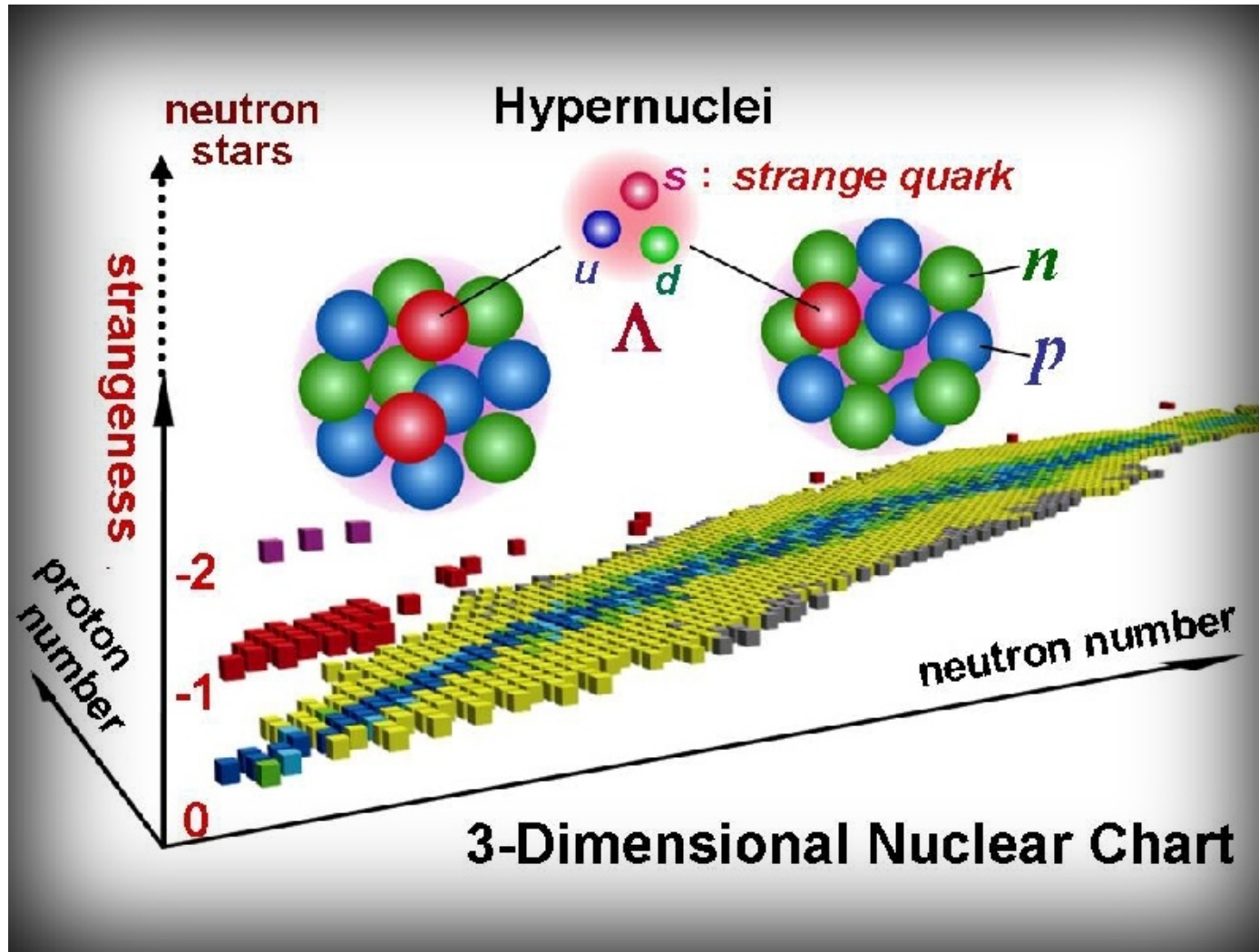


Applications in astrophysics, defense, energy, and medicine

Table of Nuclides (Nuclear Chart)



3D Nuclear Chart

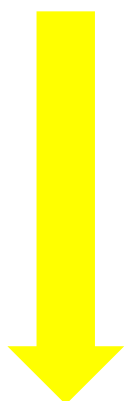


有効相互作用と模型計算

現実的核力(裸の2核子間の相互作用)

$$H = \sum_{i=1}^A \left(-\frac{\hbar^2}{2m} \nabla_i^2 \right) + \sum_{i<j}^A V(i, j)$$

$$H \Psi(r_1, \dots, r_A) = E \Psi(r_1, \dots, r_A)$$



$$H^{eff} = P e^{-S} H e^S P$$

$$P H^{eff} Q = 0$$

$$P + Q = 1, P Q = 0$$

有効核力

$$H^{eff} = \sum_{i=1}^A \left(-\frac{\hbar^2}{2m} \nabla_i^2 \right) + \sum_{i<j}^A V^{eff}(i, j)$$

$$H \Phi(r_1, \dots, r_A) = E \Phi(r_1, \dots, r_A)$$

現実的核力を直接用いた(から出発した直接的)多核子系計算

Ab-initio計算と呼ばれる。
Non-core (MC) shell model
GFMC
SRG
Lattice EFT
...

大規模計算の主戦場

P : 全ヒルベルト空間の
部分空間(模型空間)への射影演算子

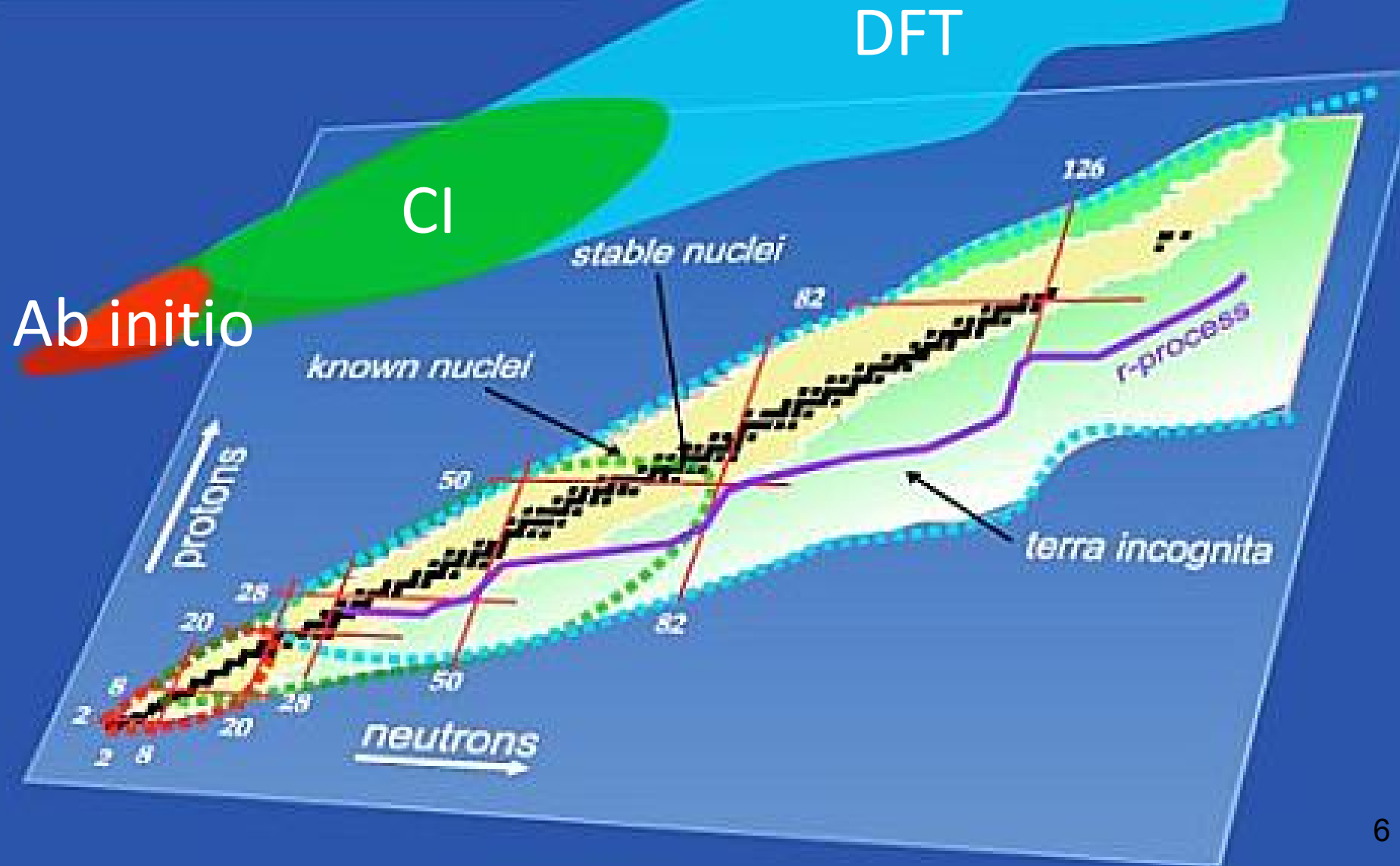
e^S : ユニタリ変換

V^{eff} : 多くの場合現象論的に決定

Φ : 模型波動関数

Nuclear Landscape

- Ab initio
- Configuration Interaction
- Density Functional Theory



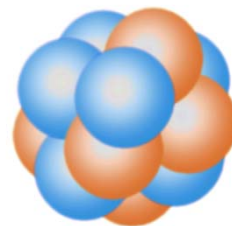
原子核構造模型

- 液滴模型
- 複合核模型
- 殻模型
- 集団運動模型
- クラスター模型
- ...

密度の飽和性:

原子核半径: $R=1.12 A^{1/3}$ fm

液滴模型



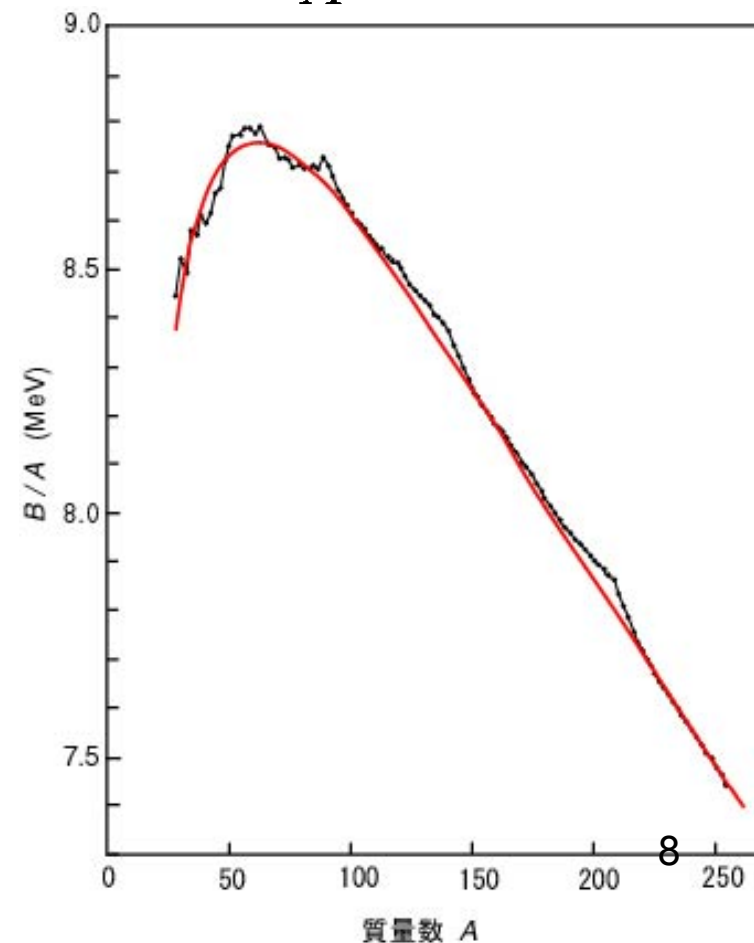
エネルギーの飽和性:

Bethe-Weizaecker mass formula

$$B(Z, N) = C_V A - C_S A^{2/3} - C_C Z^2 A^{-1/3} - C_{sym} \frac{(N - Z)^2}{A} + \delta(A)$$

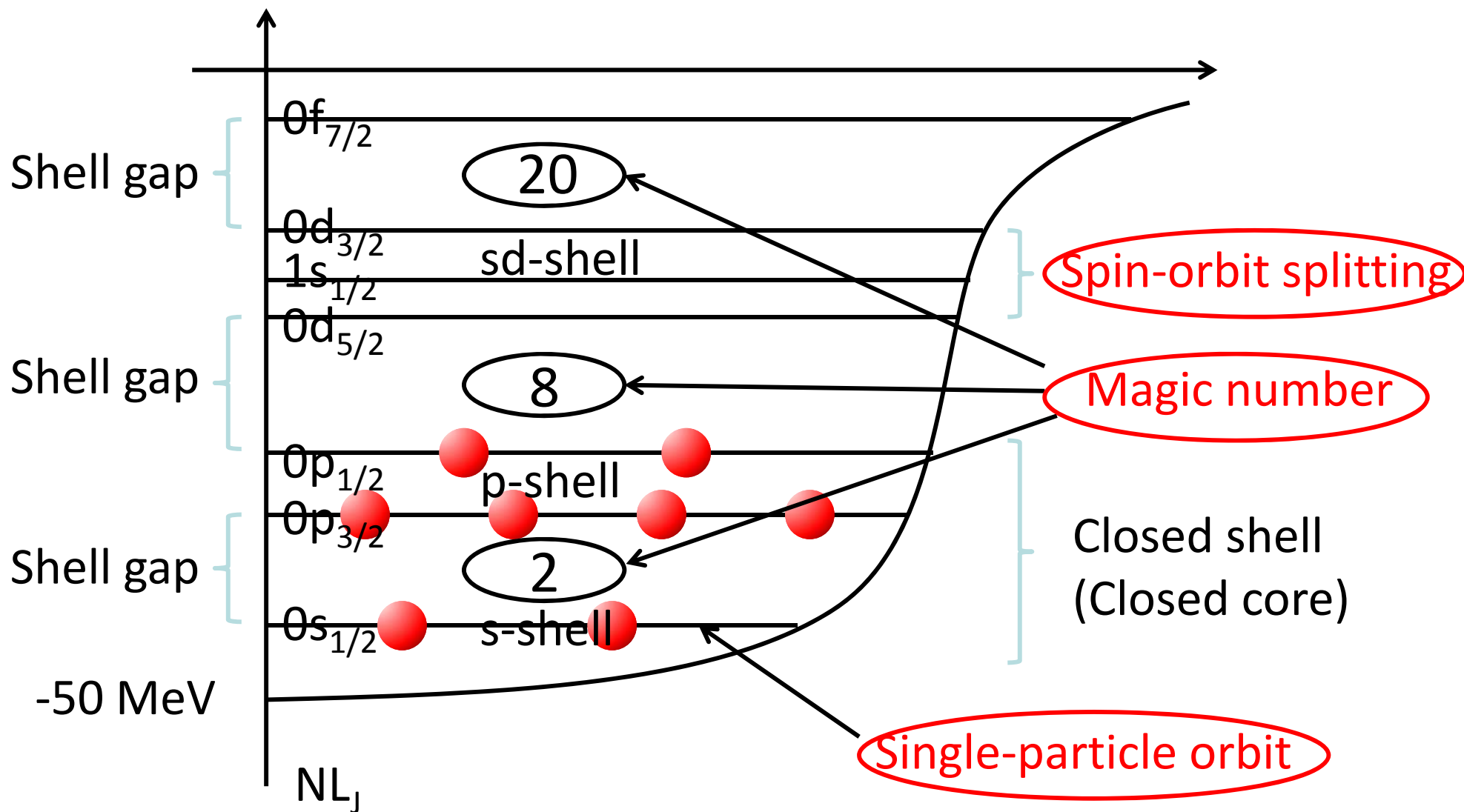
- Volume: $C_V = 15.6$ MeV
- Surface: $C_S = 17.2$ MeV
- Coulomb: $C_C = 0.70$ MeV
- Asymmetry: $C_{sym} = 23.3$ MeV
- Pairing: $\delta(A)$

$$\delta(A) = \begin{cases} \frac{12}{\sqrt{A}} \text{ MeV}, & (Z = \text{偶数}, N = \text{偶数}), \\ 0, & (A = Z + N = \text{奇数}), \\ -\frac{12}{\sqrt{A}} \text{ MeV}, & (Z = \text{奇数}, N = \text{奇数}) \end{cases}$$



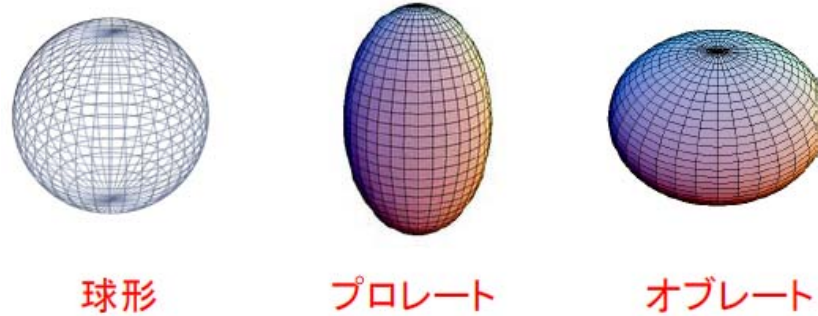
Schematic picture of the single-particle potential

調和振動子の中心力+スピン・軌道力



集団運動模型

原子核全体の変形、回転、振動現象を記述する模型

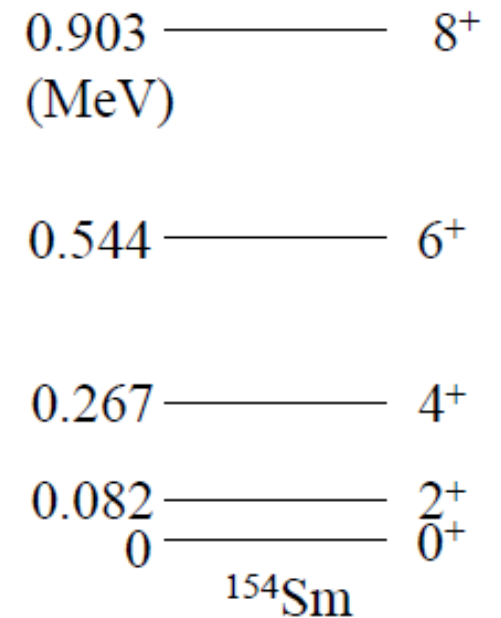


微視的には平均場模型(Hartree Fock)+乱雑位相近似
(Random Phase Approximation)

+ferimi面近傍の2核子対相関(pairing) ``BCS状態``

→ 核子の自由度から出発して理解する

^{154}Sm の励起スペクトル



$$E_I \sim \frac{I(I+1)\hbar^2}{2\mathcal{J}}$$

剛体の回転エネルギー(古典力学)

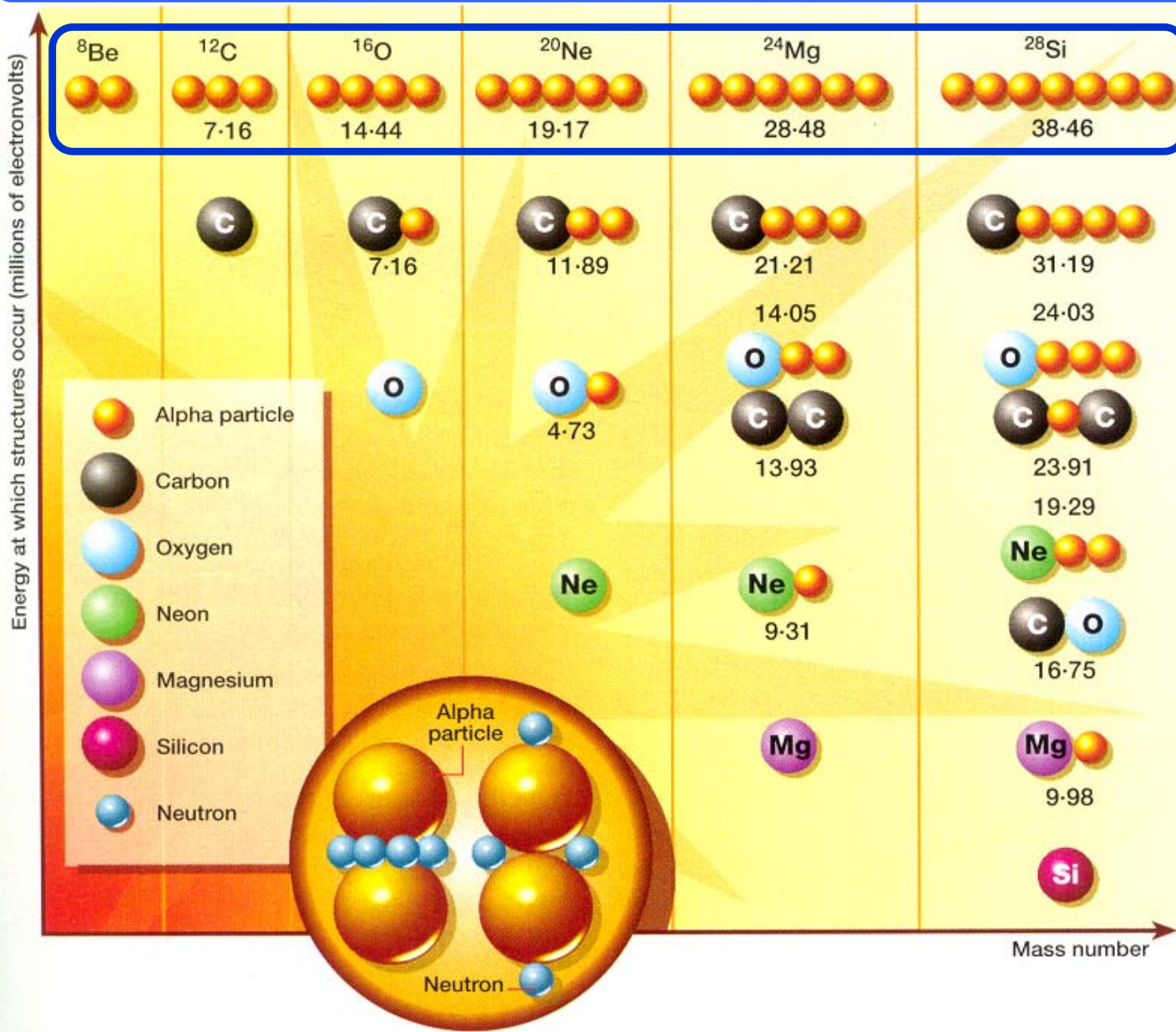
$$E = \frac{1}{2}\mathcal{J}\omega^2 = \frac{I^2}{2\mathcal{J}}$$

($I = \mathcal{J}\omega$, $\omega = \dot{\theta}$)

原子核構造模型

- 液滴模型
- 複合核模型
- 殻模型
- 集団運動模型
- クラスター模型
- ...

原子核に現れるクラスター構造 (Ikeda Diagram)



← Limit of structural change from shell to clusters

The most tightly bound light cluster

α particle (quartet)

$E/A \sim 7 \text{ MeV}$ $E^* \sim 20 \text{ MeV}$
stiff

The most elemental subunit in nuclear cluster structures.

$E/A \sim 1 \text{ MeV}$

Classified according to the Threshold Rule.

K. Ikeda et al., PTP suppl. Extra num., 464 (1968).

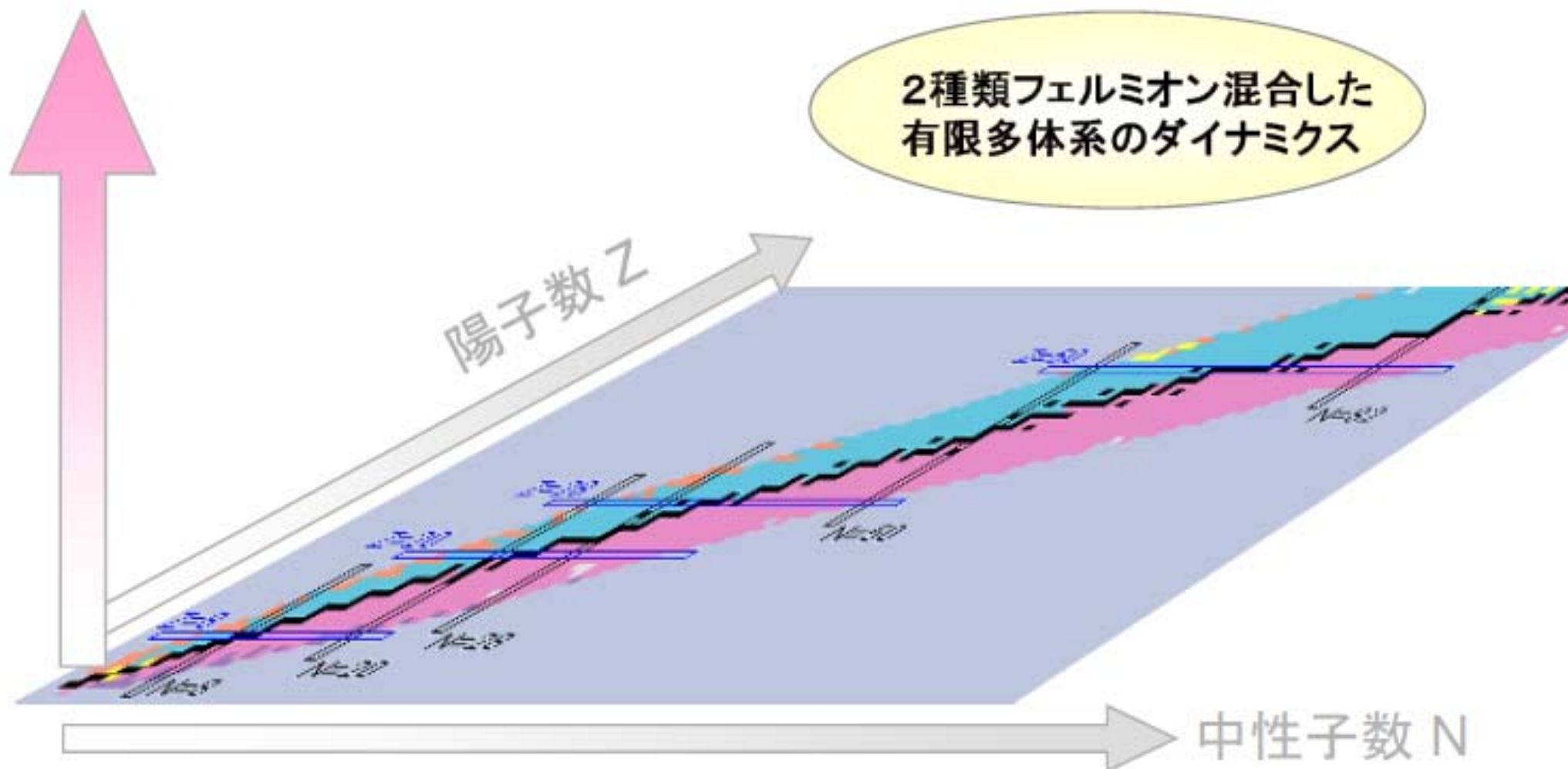
広がる原子核の世界

励起エネルギー

3つの軸:

- ・アイソスピンの非対称性
- ・励起エネルギー

2種類フェルミオン混合した有限多体系のダイナミクス



現実的核力からクラスター構造の存在が示された。

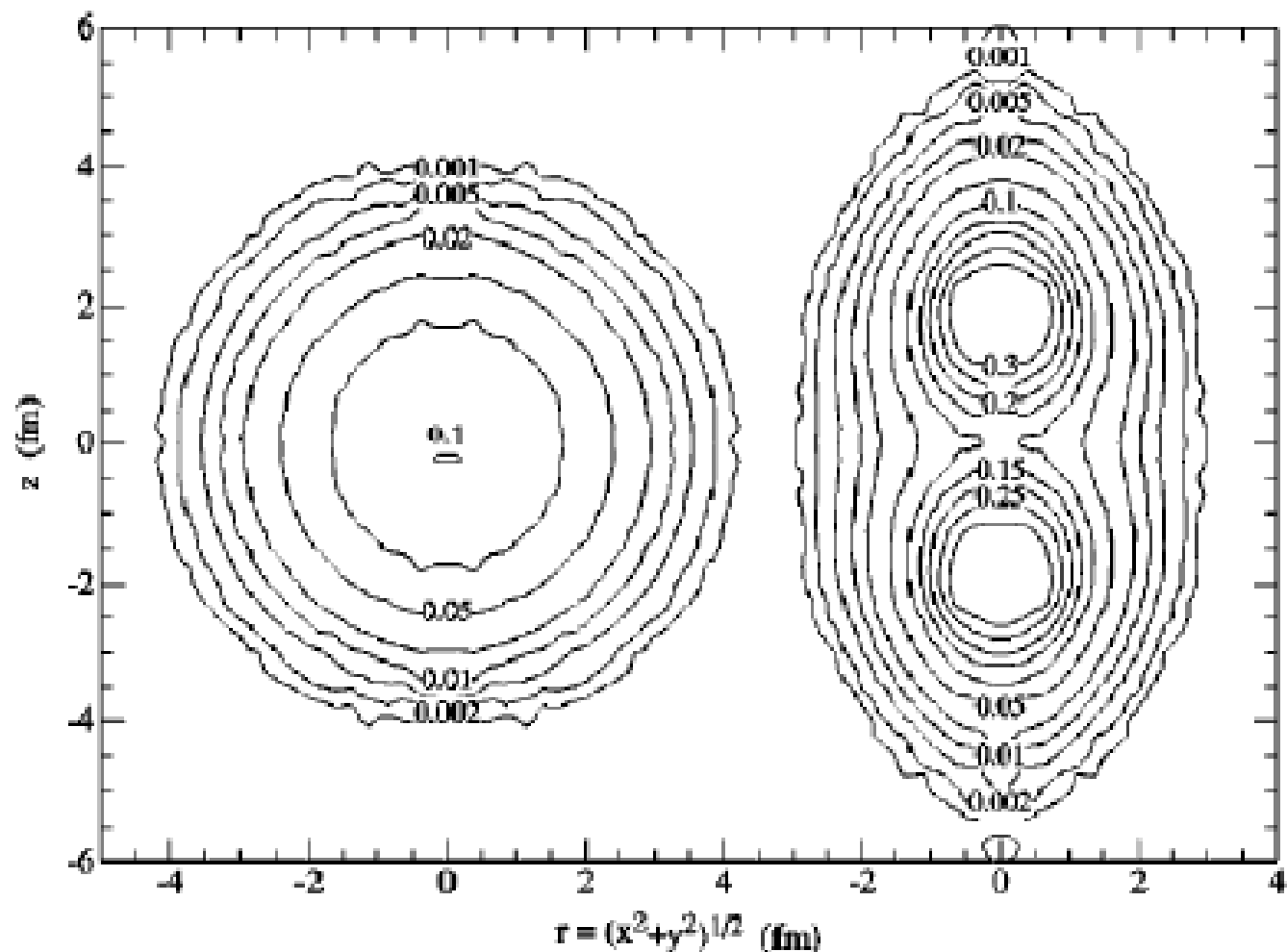


FIG. 15. Contours of constant density, plotted in cylindrical coordinates, for ${}^8\text{Be}(0^+)$. The left side is in the “laboratory” frame while the right side is in the intrinsic frame.

微視的(半微視的)クラスター模型

Brink 模型波動関数(Brink, Bloch, Margenau)

RGM (Resonating Group Method) (Wheeler 1937)

GCM (Generator Coordinate Method) (Griffin, Hill, Wheeler 1957)

OCM (Orthogonality Condition Model) (Saito 1968)

THSR (alpha condensate model)

(Tohsaki, Horiuchi, Schuck, Roepke 2001)

クラスターを仮定しない微視的模型

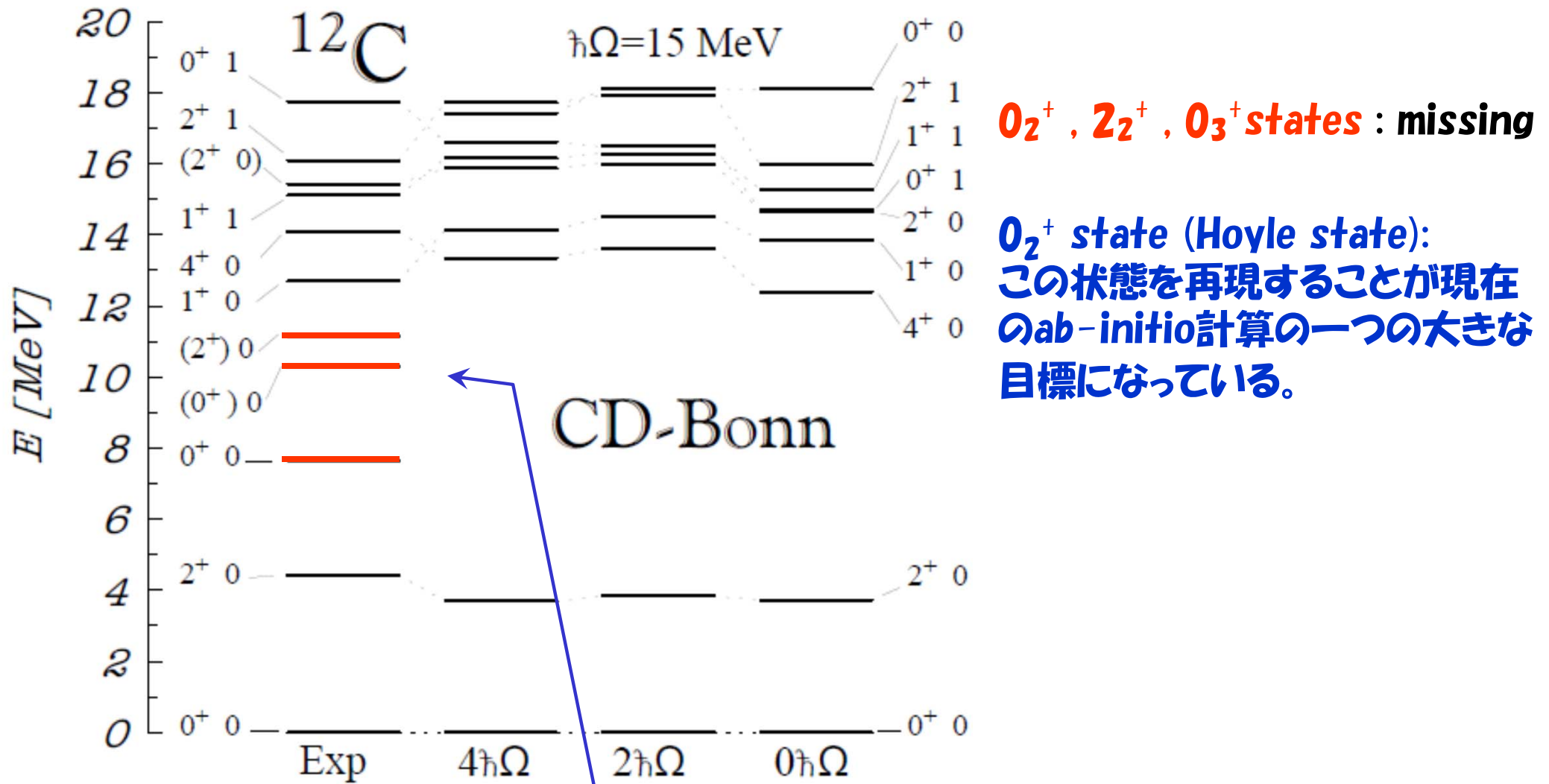
AMD(Antisymmetrized Molecular Dynamics)

FMD(Fermionic Molecular Dynamics)

Brink波動関数の核子クラスター版

Typical mysterious 0^+ states in nuclear structure problem

P. Navratil et al., PRL 84, 5728 (2001).



0_2^+ , 2_2^+ , 0_3^+ states : missing

0_2^+ state (Hoyle state):
この状態を再現することが現在の
ab-initio計算の一つの大きな
目標になっている。

Non-core shell model 計算では記述が難しい励起状態

Excitation spectra of carbon-12

First six excited states of positive parity for fixed $\alpha = 0.08 \text{ fm}^4$

Induced 3N terms

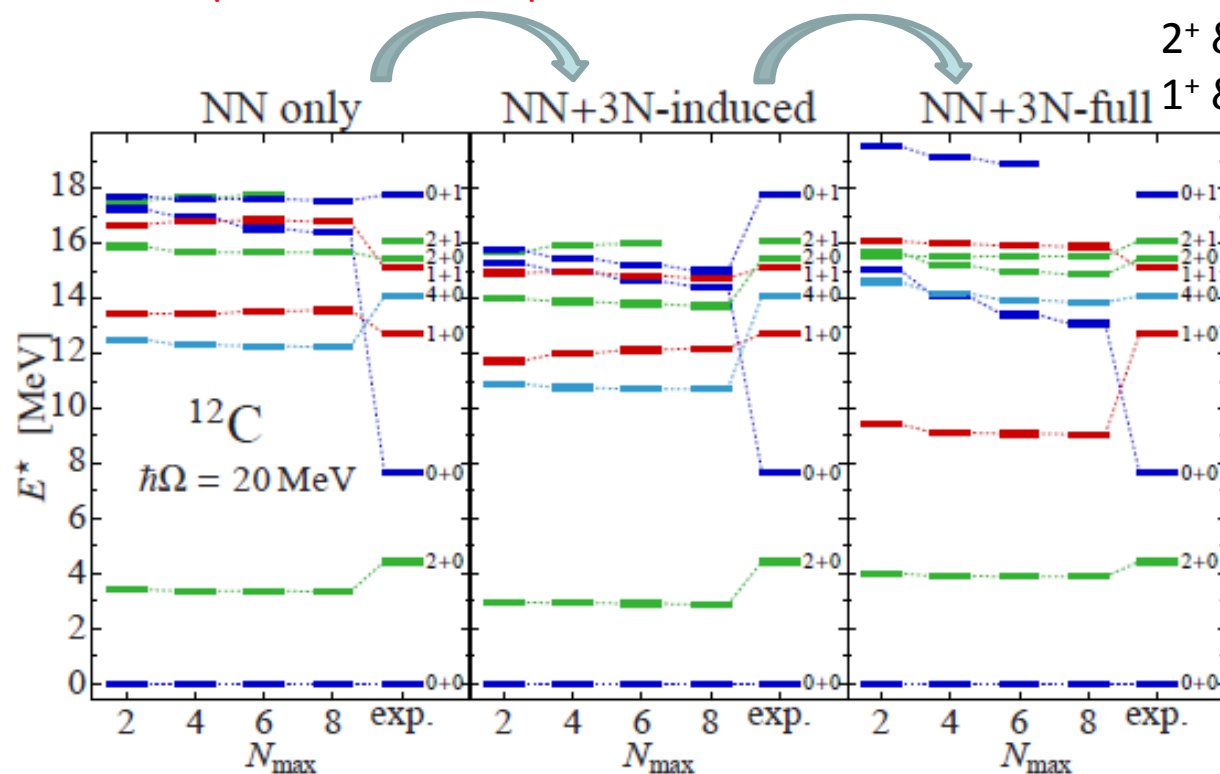
-> over-all compression of the spectrum

Initial (genuine) 3N terms

-> different behavior among the different states

2^+ & 4^+ states: improved

1^+ & 0^+_2 (Hoyle) states: not well described



© T. Abe

FIG. 4: (color online) Excitation spectrum for the lowest positive-parity states (labelled $J\pi T$) in ^{12}C for the NN-only, the NN+3N-induced, and the NN+3N-full Hamiltonian with $\alpha = 0.08 \text{ fm}^4$.

Excited states: alpha dependence is much weaker than that in ground states (not shown in Fig.4, though)
 \sim a few 100 keV for $E^*(0^+_2)$ w/ NN+3N-full -> negligible induced 4N contrib.

模型によって明らかにされた現在のHoyle 状態の理解

α 凝縮状態

n α condensate w.f. (THSR模型波動関数)

$$\langle \mathbf{r}_1, \dots, \mathbf{r}_{4n} | \Phi_{n\alpha} \rangle = \mathcal{A} \left\{ \Phi(\mathbf{r}_1, \mathbf{r}_2, \mathbf{r}_3, \mathbf{r}_4) \Phi(\mathbf{r}_5, \mathbf{r}_6, \mathbf{r}_7, \mathbf{r}_8) \cdots \Phi(\mathbf{r}_{4n-3}, \mathbf{r}_{4n-2}, \mathbf{r}_{4n-1}, \mathbf{r}_{4n}) \right\}$$

Variational ansatz (two parameters B and b)

(THSR ansatz) A. Tohsaki, H. Horiuchi, P. Schuck and G. Röpke et al., PRL **87**, 192501 (2001).

$$\Phi(\mathbf{r}_{4i-3}, \dots, \mathbf{r}_{4i}) = e^{-\frac{2}{B^2} (\mathbf{X}_i - \mathbf{X}_G)^2} \phi_\alpha(\mathbf{r}_{4i-3}, \dots, \mathbf{r}_{4i})$$

$$\phi_\alpha \propto e^{-\frac{1}{8b^2} \sum_{k < l} (\mathbf{r}_k - \mathbf{r}_l)^2}$$

c.o.m. of i -th α particle

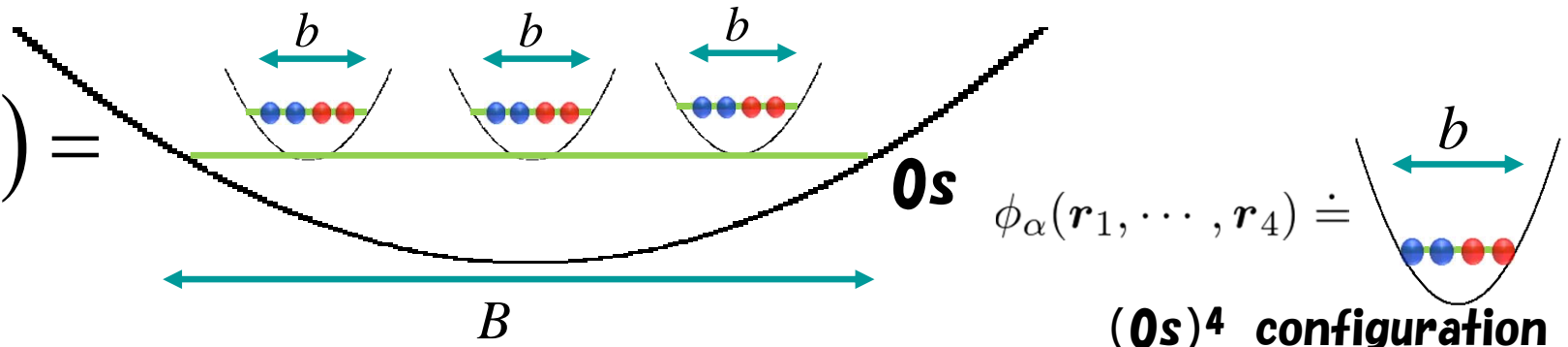
$$\mathbf{X}_i = \frac{\mathbf{r}_{4i-3} + \dots + \mathbf{r}_{4i}}{4}$$

Total c.o.m.

$$\mathbf{X}_G = \frac{\mathbf{r}_1 + \dots + \mathbf{r}_{4n}}{4n}$$

$n=3$ case

$$\Phi_{3\alpha}^{THSR}(B, b) =$$



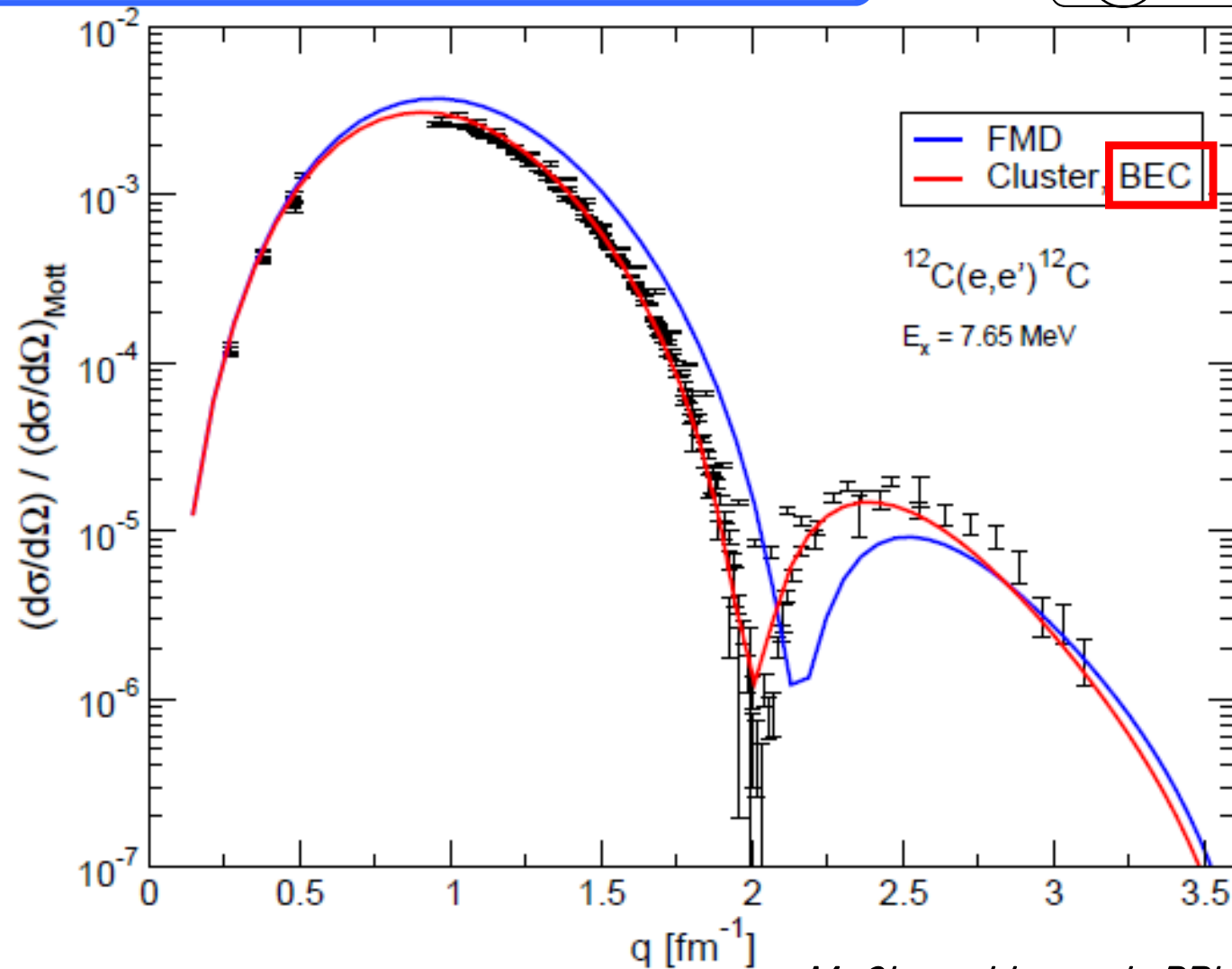
Two limits

$B = b$: Slater determinant

$B \gg b$: Gas of independent α -particles

Electron Scattering Data ($0_1^+ \rightarrow 0_2^+$)

© T. Neff

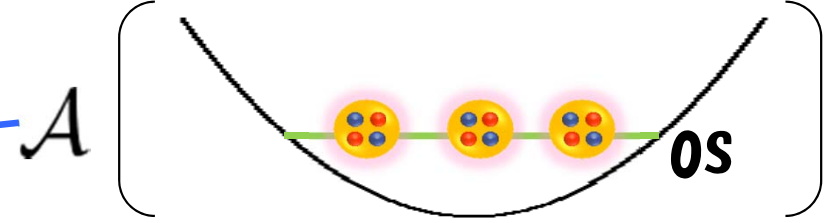
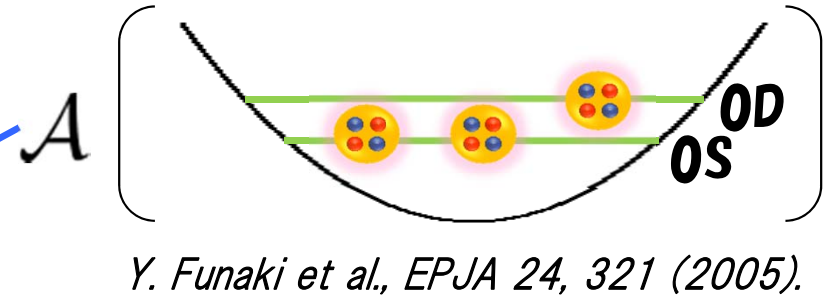
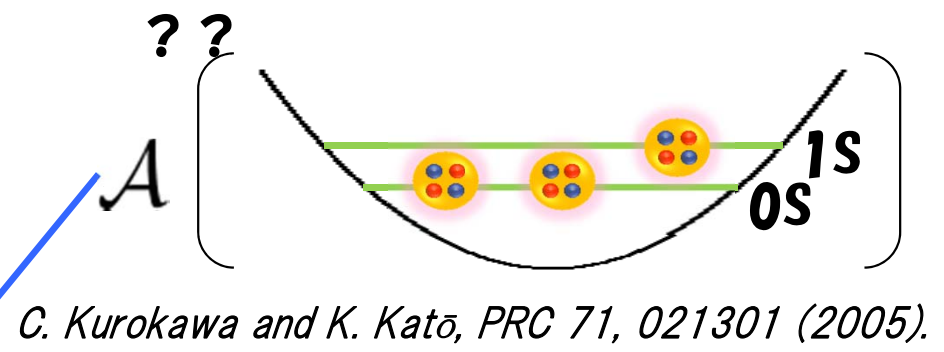
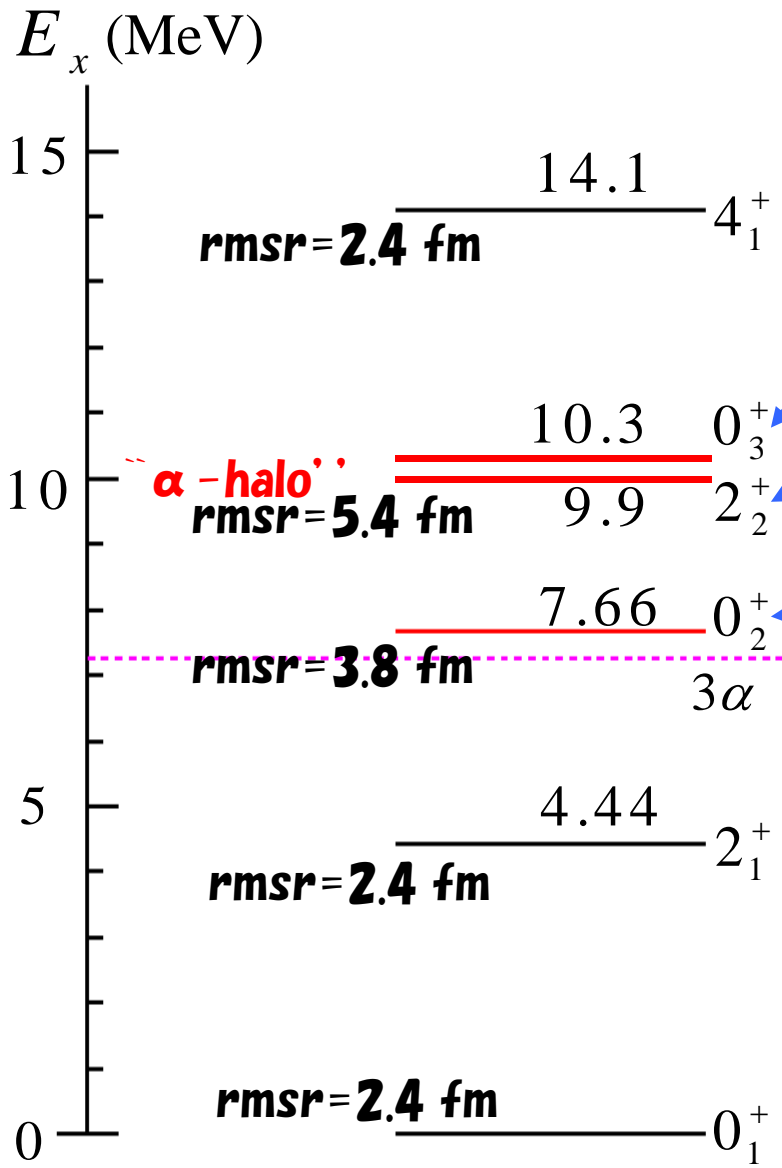


M. Chernykh. et al., PRL 98, 032501 (2007)
also see *M. Chernykh et al., arXiv:1004.3877*

Very nice reproduction by THSR w.f. (BEC)

“BEC” from *Y.F. et al., EPJA 28, 259(2006)*

Observed levels of ^{12}C



2_2^+ state:
 $^{12}\text{C}(\alpha, \alpha')$
 $E = 9.9(3)$ MeV
 $\Gamma = 1.0(3)$ MeV
M. Itoh et al., NPA 738, 268 (2004).

$^{12}\text{C}(p, p')$
 $E = 9.6(1)$ MeV
 $\Gamma = 0.6(1)$ MeV *M. Freer et al., PRC80, 041303(R) (2009).*

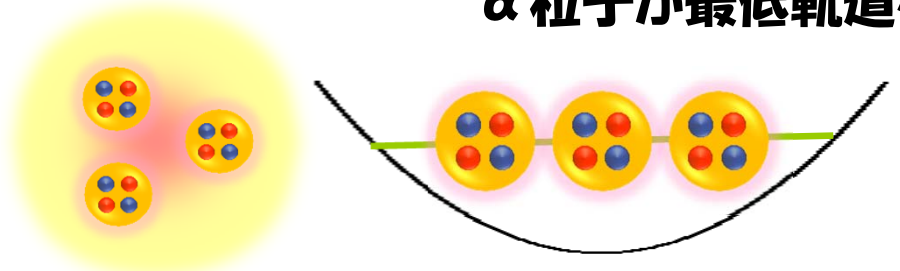
Alpha cond.model
 $E_{\text{cal}} = 9.38$ MeV
 $\Gamma_{\text{cal}} = 0.64$ MeV

α condensate in finite nuclei

Energy ↑

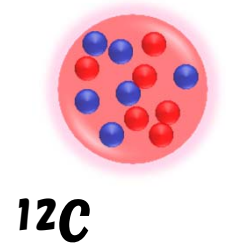
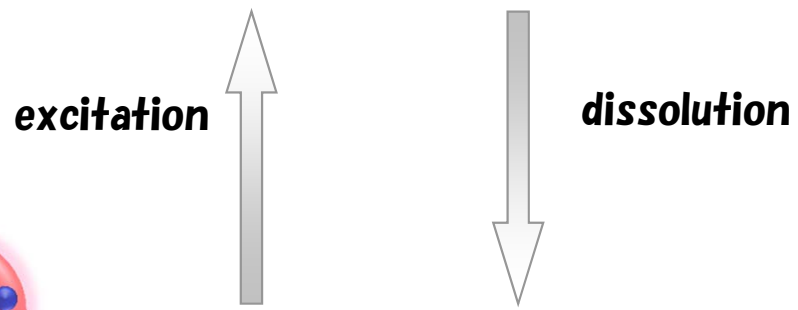
励起エネルギー
7.2 MeV

α 粒子が最低軌道を占有

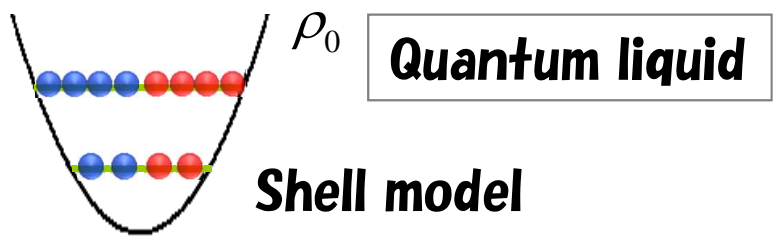


12Cでは十分確立した。

nα 分解閾エネルギー $\rho_0/3 \sim \rho_0/5$ Cluster gas



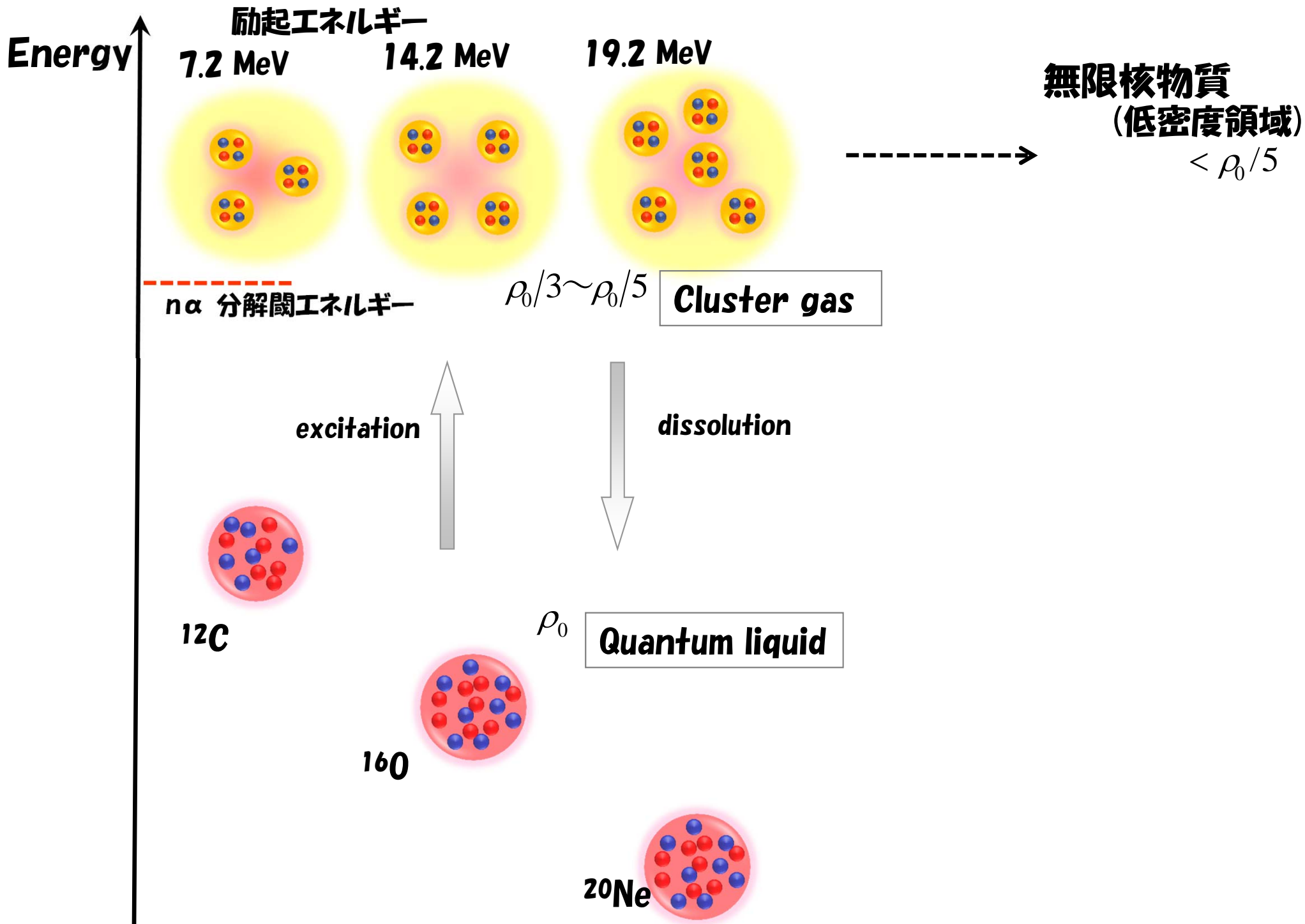
12C

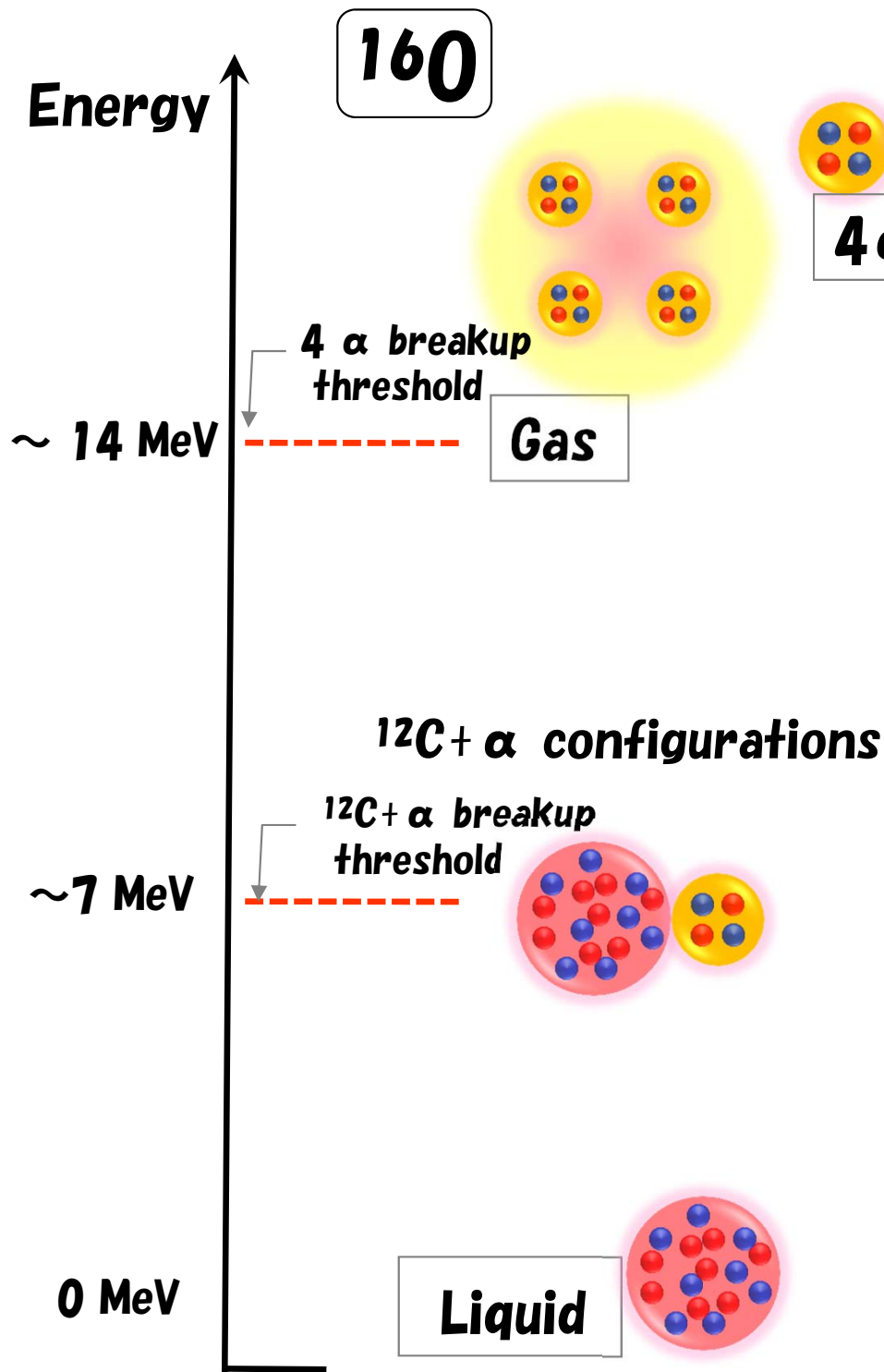


Quantum liquid

Shell model

“gas phase” in finite nuclei





4 α クラスター状態を記述するための模型

× 平均場模型

平均場とは異質の構造

× $^{12}\text{C} + \alpha$ クラスター模型

○ 4 α クラスター模型

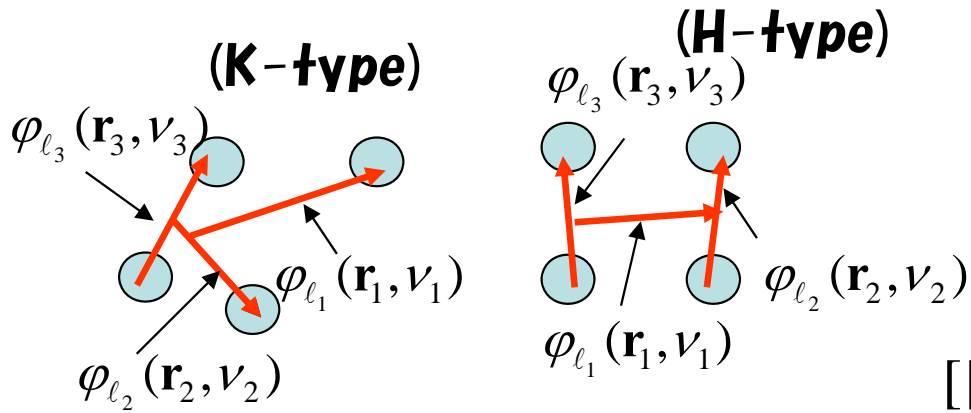
下にある状態(基底状態、 $^{12}\text{C} + \alpha$)を正しく記述した上で議論することが決定的に重要

(< 16 MeV) α クラスター状態は p-h 状態とのカップリングは小さい

$^8\text{Be} + ^8\text{Be}$, $^{12}\text{C}^* + \alpha$ に崩壊する状態が最近の実験で見えている。

4 α 直交条件模型(OCM)

模型空間



α 間相対運動はガウス関数基底で展開

$$\varphi_{lm}(\mathbf{r}, \nu) = N_l(\nu) r^l \exp(-\nu r^2) Y_{lm}(\mathbf{r})$$

$\nu = 0.5 \sim 7.5$ まで8点程度 $\rightarrow 8^3 = 512$

$[[l_3, l_2]_{l_{32}}, l_1]_J : l = 0, 1, 2, 3, 4 \rightarrow 70$ channels

計35000次元程度

直線鎖状態や $J^\pi \neq 0^+$ 状態に対しては
高い相対角運動量($l=3,4$)が必要

高い相対角運動量を含めた行列要素計算が大変!

$$(l_3, l_2, l_1) = (0, 0, 0), (2, 2, 2), (2, 2, 4), (2, 3, 3), (2, 4, 4)$$

計算コスト 1 : ~500 : ~5,000 : ~100,000

cf) 4核子系やハイパー核4体計算では
低い相対角運動量($l \leq 2$)でOK
(テンソル力: 2核子間相対D波)

2 α 間相対S波、D波、G波のphase shift を再現するポテンシャル使用

前記の模型空間でHamiltonianを対角化（実対称一般化固有値問題）

$$H = T + \sum_{i < j} \left[V_{2\alpha}(r_{ij}) + V_{2\alpha}^{Coul}(r_{ij}) \right] + V_{3\alpha} + V_{4\alpha} + V_{Pauli}$$

射影演算子部分の計算コストがメイン(8割以上)となる

パウリ演算子(パウリ禁止状態除去)

$$V_{Pauli} = \lim_{\lambda \rightarrow \infty} \lambda \sum_{2n+l < 4} \sum_{ij} |u_{nl}(r_{ij})\rangle \langle u_{nl}(r_{ij})|$$

密度演算子

$$\rho(r, r') = \sum_i |\delta(r_i - r')\rangle \langle \delta(r_i - r)|$$

ガウス基底が一つ増えたことに相当し、5体系の計算コストがかかる

相対角運動量の高い射影演算子部分の行列要素計算を含んだ4体系計算(4 α OCM)

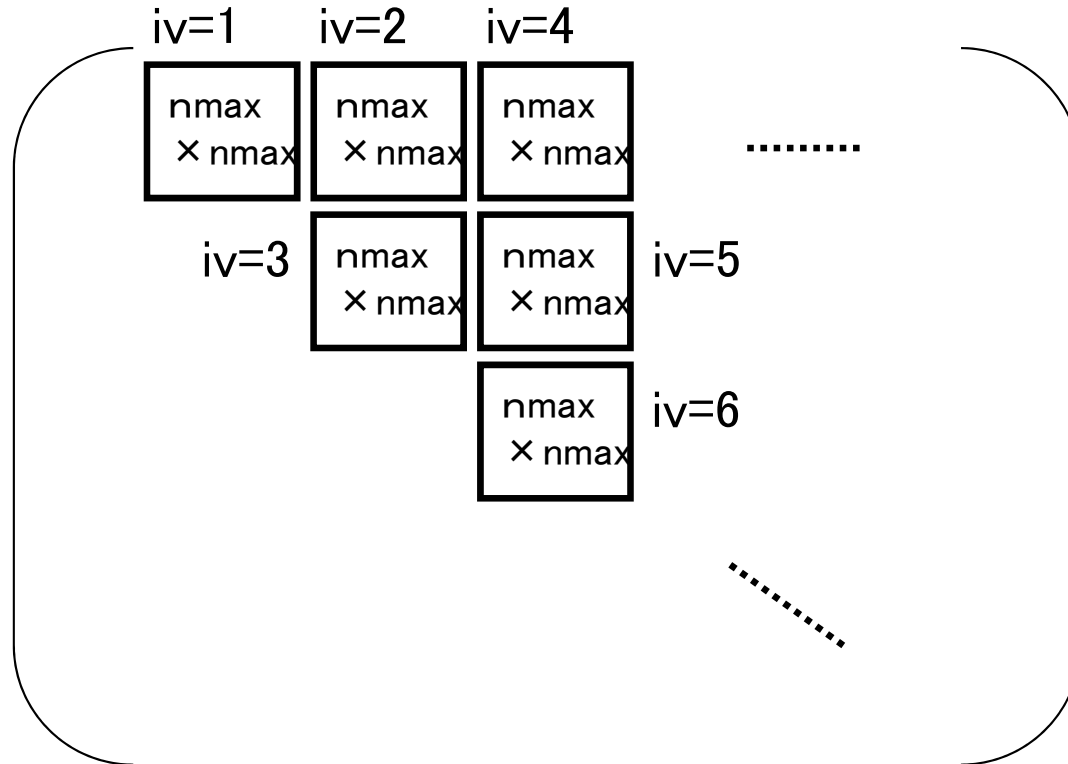
行列要素計算ソースコード

```
call mpi_init(ierr)
call mpi_comm_size(...)
call mpi_comm_rank(...)
```

```
do iv=ista,iend
  do icb=1,nmax
    do ica=1,nmax
      :
      zz(ica,icb,iv)=...
    end do
  end do
end do
```

```
call mpi_gatherv(zz, ...)
call mpi_finalize(ierr)
```

iv: ガウス基底展開部分
 ica,icb : 角運動量チャンネル部分

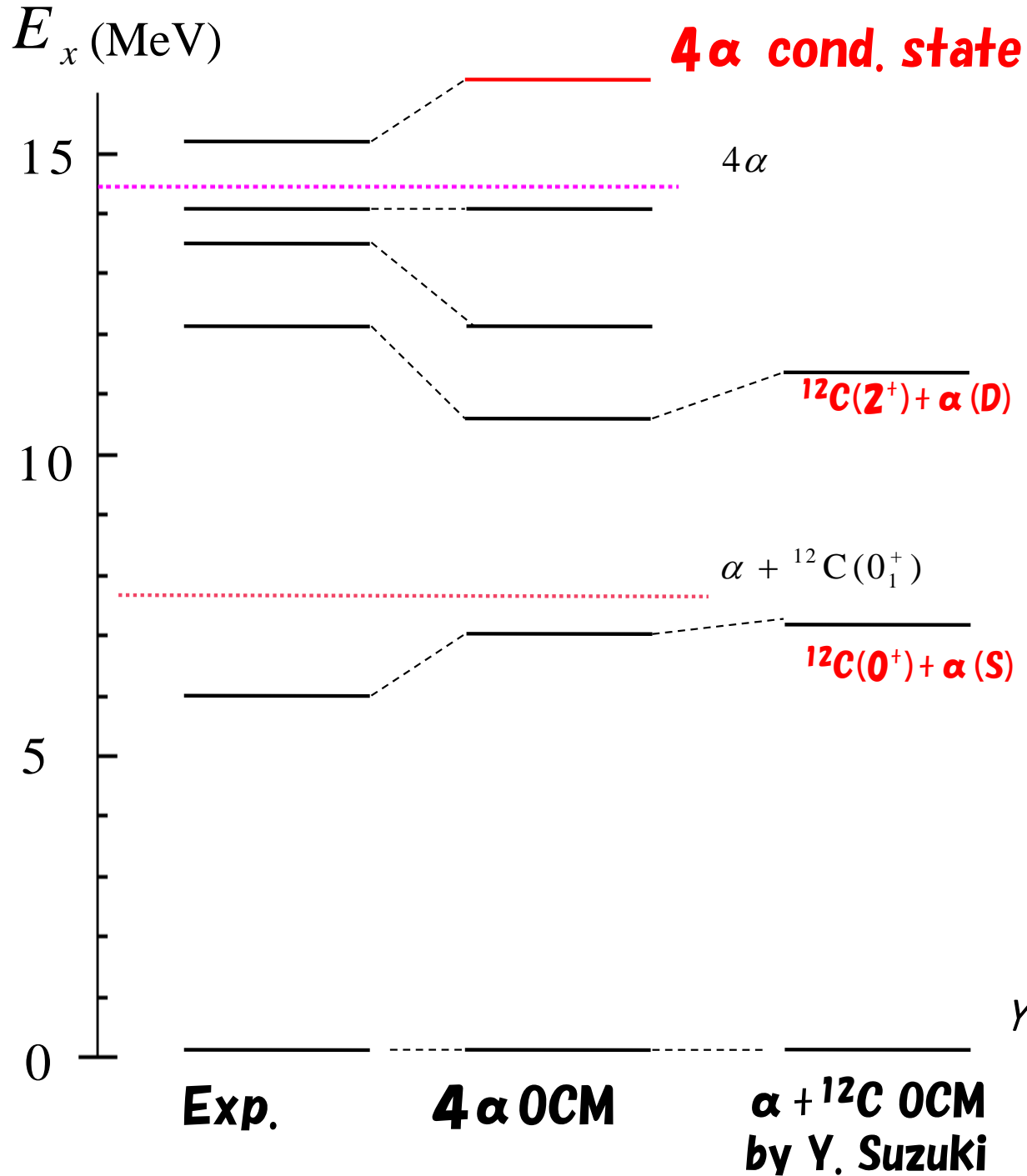


Dim=2560 Calculation time (s)

# of core	1	2	4	8	12
Matrix element	14389	7363	3741	1891	1338

Xeon X5670 (2.93 GHz, 2*6 core)

0^+ spectra, rms radii, monopole matrix elements



0_4^+ state: T. Wakasa, Y. F. et al.,
PLB 653, 173 (2007).

Y. F. et al., PRL 101, 081502 (2008).

0^+ spectra, rms radii, monopole matrix elements**Large monopole matrix element can be the evidence of cluster states.***T. Yamada, Y. F. et al., PTP120, 1139 (2008).*

	E_x [MeV]	Experimental data			4α OCM		
		R [fm]	M(E0) [fm ²]	Γ [MeV]	R [fm]	M(E0) [fm ²]	Γ [MeV]
0^+_1	0.00	2.71			2.7		
0^+_2	6.05		3.55		3.0	3.9	
0^+_3	12.1		4.03		3.1	2.4	
0^+_4	13.6		no data	0.6	4.0	2.4	0.60
0^+_5	14.0		3.3	0.185	3.1	2.6	0.20
0^+_6	15.1		no data	0.166	5.6	1.0	0.14

over 15%
of total EWSR20%
of total EWSR

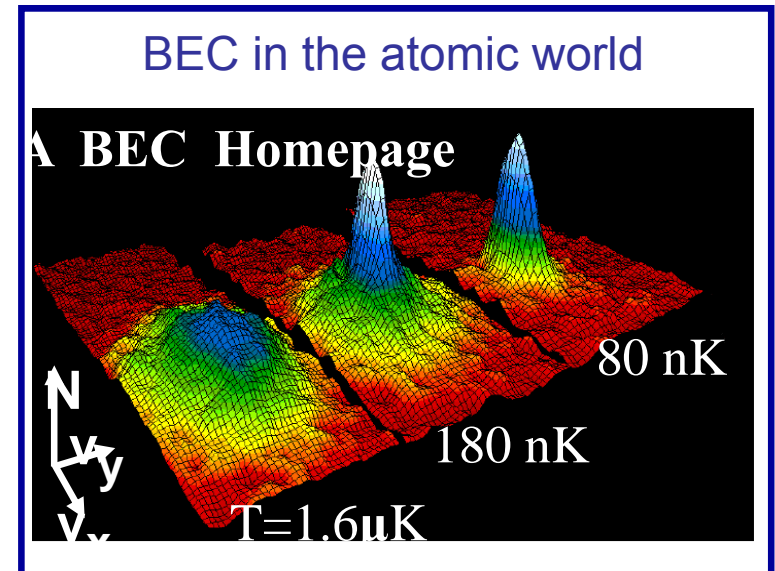
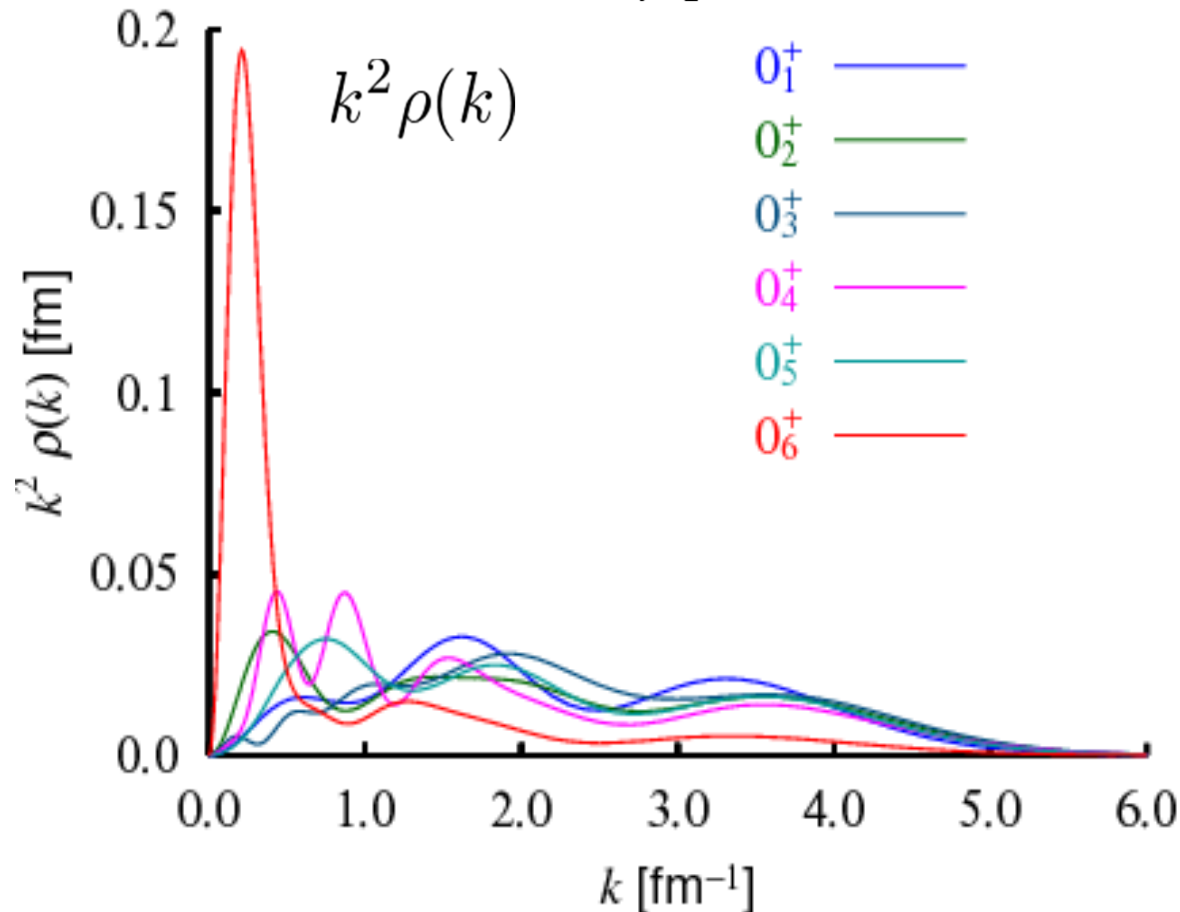
Momentum distributions of the α particles

$$\rho(k) = \int d\mathbf{r} d\mathbf{r}' \frac{e^{-i\mathbf{k}\cdot\mathbf{r}}}{(2\pi)^{3/2}} \rho(\mathbf{r}, \mathbf{r}') \frac{e^{i\mathbf{k}\cdot\mathbf{r}'}}{(2\pi)^{3/2}}$$

$$\rho(\mathbf{r}, \mathbf{r}') = \frac{1}{4} \sum_{i=1}^4 \langle \Psi_{\text{OCM}}(0_k^+) | \delta(\mathbf{r}_i - \mathbf{X}_G - \mathbf{r}') \rangle \langle \delta(\mathbf{r}_i - \mathbf{X}_G - \mathbf{r}) | \Psi_{\text{OCM}}(0_k^+) \rangle$$

\mathbf{r}_i : coordinate of the i -th α particle

\mathbf{X}_G : coordinate of total center-of-mass



0_6^+ : delta-function-like peak at zero momentum

4 α condensate state character.

de Broglie w.l. $\lambda = \frac{2\pi}{\sqrt{\langle k^2 \rangle}} \geq 20 \text{ fm}$

Scalability

(対称密行列)対角化:ScaLapack使用

© K. Yoshida

QRPAコードによる対角化計算

Dim=31965

Calculation time (s)

# of core	256	512	1024
matrix element.	3367	1710	918
diagonalization	610	328	308

Dim=70051

$$(70051/31965)^2=4.8 \quad 918*4.8=4409$$
$$(70051/31965)^3=10.5 \quad 308*10.5=3242$$

# of core	1024
matrix element	4061
diagonalization	2597

Dim=104302

$$(104302/70051)^2=2.2$$
$$(104302/70051)^3=3.3$$

$$4061*2.2=9003$$
$$2597*3.3=8572$$

# of core	1024	2048
matrix element.	8788	4336
diagonalization	-	6029

Limit: 21600s

久保野' ' 図

Cluster Nucleosynthesis(CN) diagram

S. Kubono, PTP96, 275(1996)

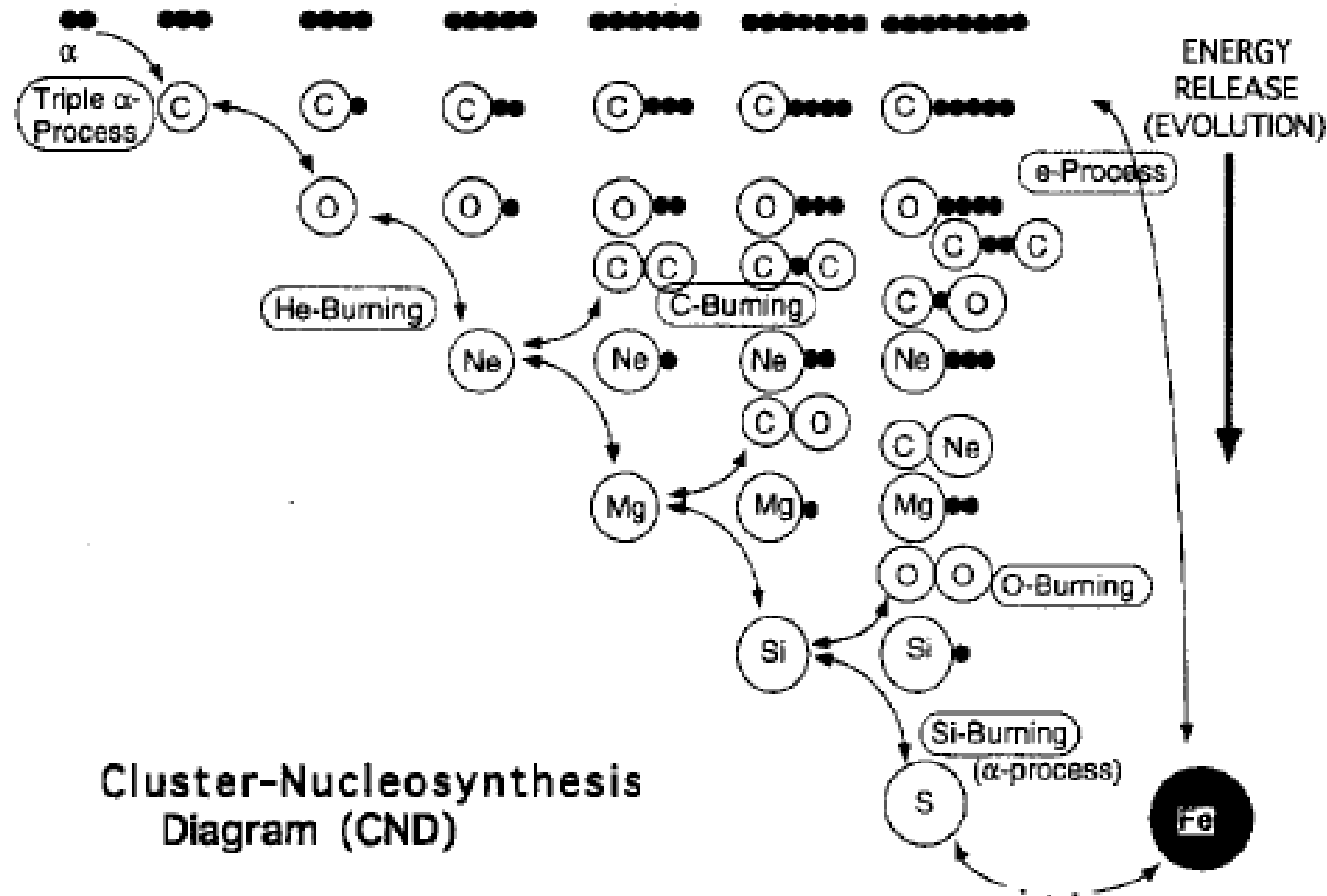
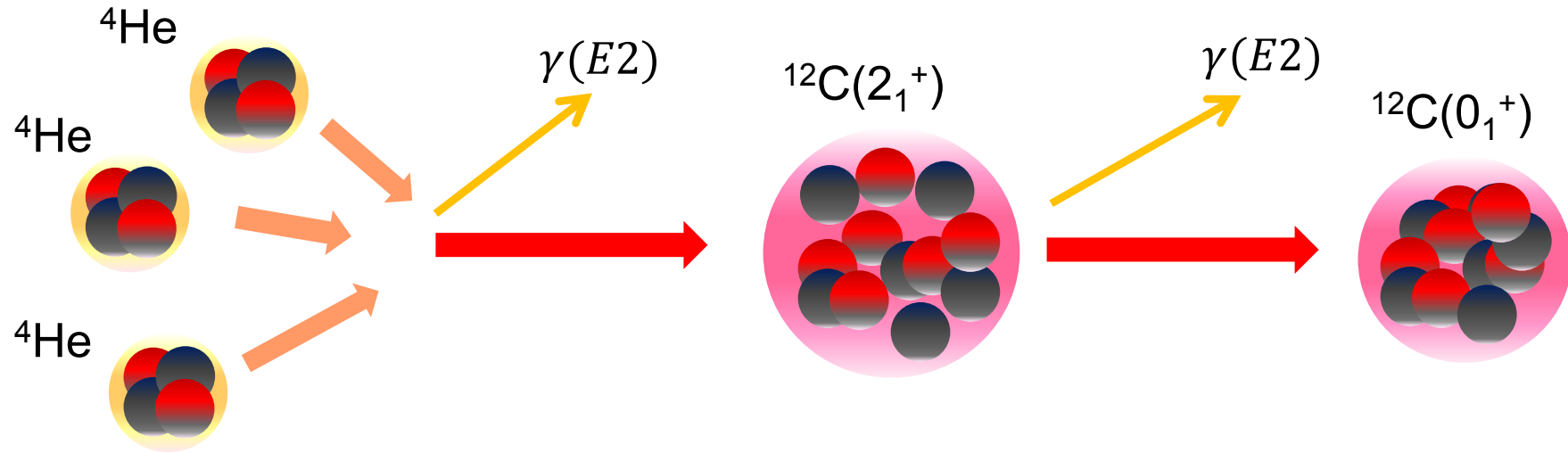


Fig. 8. The Cluster Nucleosynthesis(CN) diagram.⁷⁰⁾ Nucleosynthesis to heavy elements flows in the direction from top-left to bottom-right to Fe, releasing the energy to the stellar system.

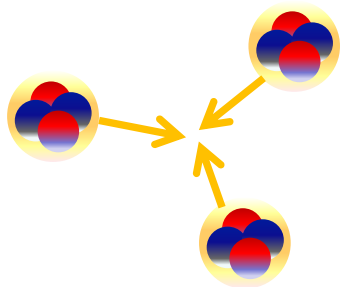
Dominant ^{12}C synthesis process depends on temperature

Total angular momentum 0



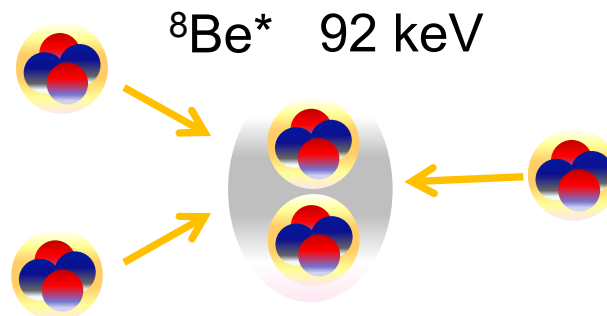
Low Temperature

Direct 3-alpha collision



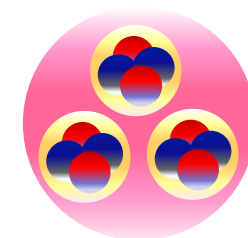
High Temperature

Binary collision
(^8Be resonance)



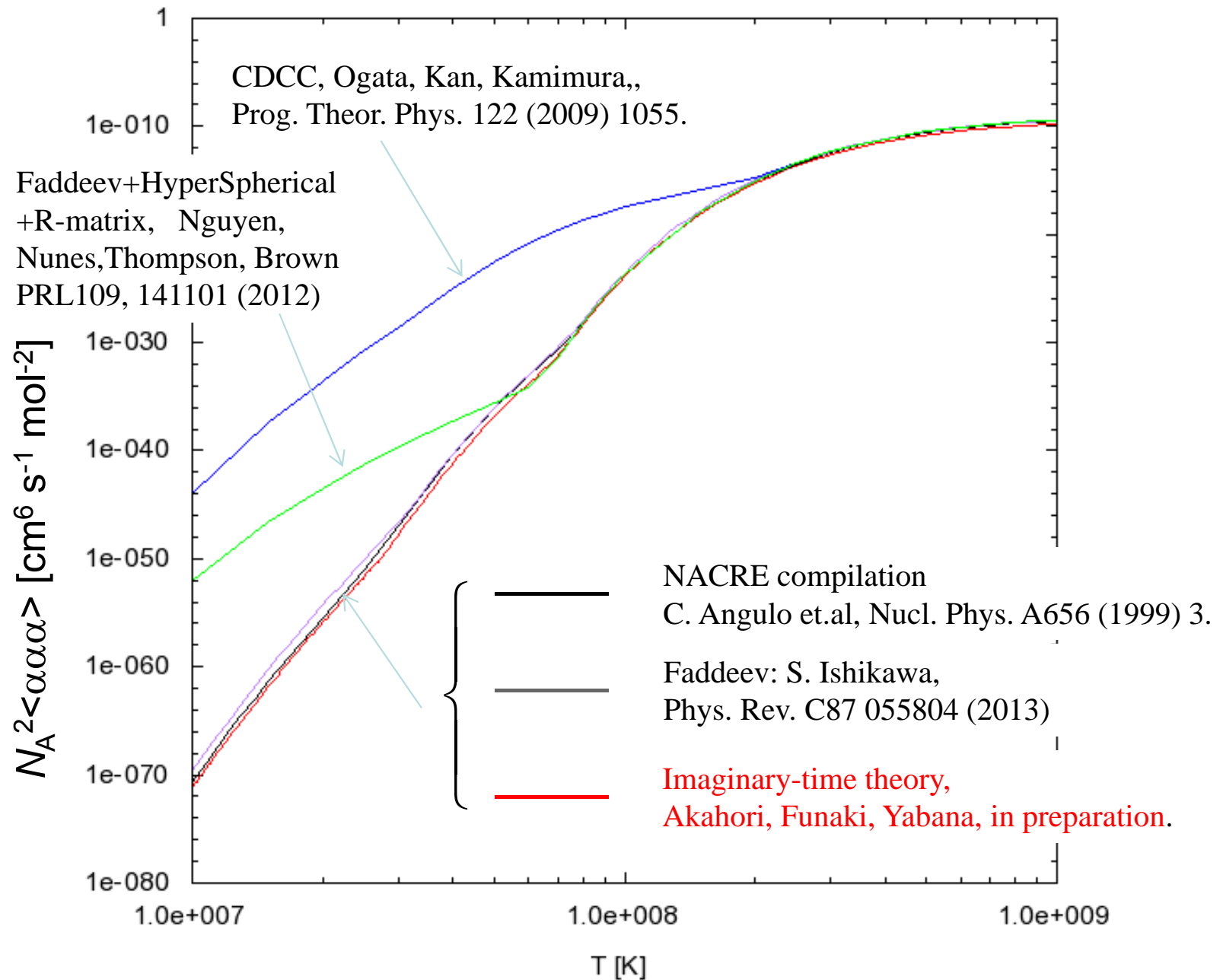
By way of Holy state
(^{12}C resonance)

$^{12}\text{C}^*(0_2^+)$ 379 keV



Calculated rates deviates among theories at low temperature

10^{26} order of magnitude difference at 10^7 K



Imaginary time + Coupled Channel (CDCCをmimic)

2alpha部分を1200チャンネル展開

CDCC: $E_{aa}=0.176$ MeV
(122 ch.)

